

## بررسی پارامترسازی عمق لایه پایدار شبانه و تاثیر آن در آلودگی هوای یک منطقه شهری با توپوگرافی پیچیده (تهران)

نفیسه پگاهفر<sup>۱\*</sup>، عباسعلی علی‌اکبری بیدختی<sup>۲</sup> و پیمان زوار رضا<sup>۳</sup>

<sup>۱</sup> دانشجوی دکتری، گروه فیزیک فضا، موسسه زئوفیزیک دانشگاه تهران، ایران

<sup>۲</sup> استاد، گروه فیزیک فضا، موسسه زئوفیزیک دانشگاه تهران، ایران

<sup>۳</sup> استادیار، دانشکده جغرافیا، دانشگاه کنترلی، نیوزیلند

(دریافت: ۸۹/۶/۱۶، پذیرش نهایی: ۸۹/۱۲/۲۴)

### چکیده

لایه مرزی شهری بهدلیل دارا بودن تراز آلودگی بیشتر، همواره مورد توجه هواشناسان بوده است. لذا کوشش‌های فراوانی درجهت پیش‌بینی و پیش‌یابی پارامترهای موثر در این لایه صورت گرفته است. از آن جمله می‌توان به اجرای آزمایش‌های میدانی، تهیه الگوریتم‌های متنوع به کمک پارامتری کردن و مدل سازی‌های عددی اشاره کرد که اغلب آنها در منطقه روستاوی کاربرد دارد. شهر تهران نیز بهدلیل توپوگرافی ویژه، حجم ترافیک زیاد، تمرکز مراکز صنعتی، یکی از آلوده‌ترین شهرها به‌شمار می‌آید. علاوه بر موارد فوق، تغییرات فصلی و چرخه شبانه‌روزی برخی میدان‌های هواشناختی و پارامترهای لایه مرزی نیز بر غلظت آلاینده‌ها در این مکان تاثیرگذار است. تاثیر پارامترهای لایه مرزی در شب که اثر ترافیک و مراکز صنعتی کم می‌شود، بیشتر نمایان است. دلیل آن را می‌توان تشکیل لایه وارونه و همچنین پایدار شبانه دانست که عمق اختلاط را کاهش می‌دهد. بنابراین در این زمان غلظت آلاینده‌ها بهدلیل کاهش حجم در دسترس برای پخش، انتقال و ماندگاری افزایش می‌یابد.

با وجود پیشرفت‌های فراوان در این زمینه هنوز برآورد عمق لایه پایدار شبانه یک چالش بزرگ برای تحقیق در فضای شهری محسوب می‌شود؛ زیرا که در شب و در منطقه شهری جهت شارگرما با منطقه غیر شهری متفاوت است که کاربرد الگوریتم‌های تهیه شده برای منطقه غیر شهری را در این مناطق با مشکل مواجه می‌کند.

با توجه به اهمیت موضوع در این پژوهش سعی شده است تا ابتدا ارتباط بین عمق لایه پایدار شبانه و غلظت آلاینده ذره‌ای PM<sub>10</sub> بررسی شود. در ادامه، اعتبار پارامتری کردن‌های متنوعی که برای برآورد عمق لایه پایدار شبانه در الگوریتم‌های لایه مرزی در مدل‌های پخش به کار می‌رود، مورد ارزیابی قرار گیرد و از بین آنها بهترین رابطه برای این منطقه معرفی شود. نتایج نشان می‌دهد که از بین ۱۰ رابطه بررسی شده، روابطی که تاثیر پارامترها و متغیرهای میدانی هواشناسی را به طور جداگانه در نظر می‌گیرند خطای بیشتری تولید می‌کنند. از بین این روابط، رابطه‌ای که زیلیتینکوچ و میرانو (۱۹۹۶) پیشنهاد کرده‌اند، خطای کمتری ایجاد کرد. این رابطه با استفاده از ۵ مقیاس طولی تهیه شده بود که پارامترهای بیشتری از لایه مرزی را شامل می‌شد. نتایج حاصل از این پژوهش نشان می‌دهد که این پارامتری کردن برای برآورد عمق لایه پایدار در شهر تهران بزرگ‌ترین ضریب همبستگی و کمترین خطای وجود می‌آورد.

واژه‌های کلیدی: لایه مرزی منطقه شهری، پارامتری کردن لایه پایدار شبانه، غلظت PM<sub>10</sub>.

### Parameterization of nocturnal stable boundary layer height (NSBLH) and effect of NSBLH on air pollution in an urban area with complex topography (Tehran)

Pegahfar, N.<sup>1</sup>, Aliakbari-Bidokhti, A. A.<sup>2</sup> and Zawar-Reza, P.<sup>3</sup>

<sup>1</sup>Ph.D. Student, Space Physics Department, Institute of Geophysics, University of Tehran, Iran

<sup>2</sup>Professor, Space Physics Department, Institute of Geophysics, University of Tehran, Iran,

<sup>3</sup>Assistant Professor, Department of Geography, College of Science, University of Canterbury, Christchurch, New Zealand

(Received: 07 Sep 2010, Accepted: 15 Mar 2011)

## Abstract

Mixing height of the atmospheric boundary depends on the vertical variation of temperature in the atmosphere which includes temperature inversion (including surface and elevated inversions) that has a significant effect on air quality. The mixing height like some other meteorological variables has diurnal variations. The reason for that is its dependence on some other basic meteorological parameters e.g. surface turbulent fluxes (momentum and heat fluxes), wind speed, temperature stratification. In urban area surface roughness and topography also affect the mixing height.

Since mixing height cannot be observed by standard measurements, it is not routinely measured in meteorological stations especially for urban area. Therefore it should be estimated indirectly from vertical profile of some meteorological fields such as wind, potential temperature or must be parameterized. Due to the importance of mixing height for air pollution calculations, numerous algorithms were prepared to estimate it. It is noticeable that most of these algorithms are practical for rural area. Hence applying these algorithms for urban area may lead to large errors; therefore they are needed to be validated for each terrain individually. Previous studies have shown that for day time, results of these algorithms for urban area have good agreement with observations but at night they lead to large errors. An increased error at night is due to the error in heat flux estimation in urban area compare to rural area. Over urban areas nocturnal heat flux includes two different parts. One is a downward heat flux due to the surface cooling (similar to what happened for rural area) and the other is an upward heat flux due to the urban effect (which is not included in rural models). Recently many efforts have been done to evaluate applicability of different models and parameterization for urban areas. They were performed to estimate stable boundary height using two methods namely using surface fluxes or Richardson number (Vicker and Mahrt, 2004).

Tehran, the capital of Iran ( $35^{\circ} 42' N$ ,  $51^{\circ} 25'E$ ) is one of the the polluted city in the world. It suffers from poor air quality most of the year. E.g. Zawar-Reza et al (2008) indicated that analysis of data from permanent air quality monitoring stations showed that Tehran regularly exceeds the WHO guideline of  $50\mu g/m^3$  for  $PM_{10}$ . There are inter-annual differences in percentage of times that this condition occurs, but in general this occurs more than 70% of times. Moreover than manmade sources, Tehran location has significant influence on its air quality. It has an area of  $700 km^2$  and is situated in a semi-enclosed basin in the south of Alborz mountain range, down to the low lying flat terrain. The mountainous nature of Tehran has a dominating control on low level wind climatology and also air quality. Tehran has an unusual location and an average low annual rainfall of approximately 230 mm. Its precipitation is mostly in autumn and winter months. Local precipitation is absent for 6 months of the year on the low lying areas that may lead to some air pollution episodes. Due to the high elevation (approximately 1140 m), aridity and latitude, the city experiences four seasons. Climate can be extremely hot in the summer (with midday temperatures ranging between 30 to  $40^{\circ}C$ ), and cold in winter when night time temperatures can be below the freezing point. Another characteristic of this city is its heat island effect, for e.g. horizontal temperature difference between different parts of that varies from 2-4  $^{\circ}C$  in different seasons. The stability parameter ( $z/L$ ,  $z=15m$ ) range varies from -1 to 1(Pegahfar et al., 2006). Hence Tehran experiences a larger stability range for weather condition compare with Moriwaki et al. (2002) results for Tokyo ( $[-0.2, 0.2]$ ) and Haizhen et al. (2006) results ( $[-0.1, 0.1]$ ) for idealized simulations in numerical experiments on the east coast of Vancouver Island. The static stability may be affected by mountains surroundings the city that also prevent pollution ventilation. This stable stratification brings worth air quality for this area.

Another characteristic of Tehran is its inhomogeneous surface that gives large value of

surface roughness in various directions. North-easterly wind experience the most roughness ( $z_0 + z_d = 5.8m$ ) comparing to southerly wind ( $z_0 + z_d \approx 11m$ ) which shows the complexity of the terrain ( $z_0, z_d$  represent roughness length and zero displacement height respectively). This non homogenous surface may affect horizontal mixing height which has a significant effect on air pollution. During this study according to the seasonal variations of the wind profile and turbulent structure, mixing height varies from 554 to 1739m in day time periods, and stable boundary height varies from 17 to 500m at night.

In this research data from a Radiosond for the 9 first months of 2009 at 0000 UTC were used to calculate stable boundary layer height and to validate some parameterizations applied in dispersion models for such urban area with complex topography. Radiosond measures vertical profile of wind speed and direction, temperature, pressure, humidity and geo-potential height with 2 second time step. Also data from a surface station at the Geophysics Institute from the University of Tehran were used to calculate PM<sub>10</sub> and CO concentrations in this period. Diurnal variations of CO and PM<sub>10</sub> demonstrate that their pattern have two maximum which is affected by traffic peak and transition times. Transition time effect on pollution concentrations is due to the sharp variations of meteorological fields such as surface fluxes, wind speed and direction and temperature.

In this paper we demonstrated that PM<sub>10</sub> concentrations changes linearly versus stable boundary layer height. According to the importance of stable boundary layer height in dispersion models we decided to find the best parameterization scheme for Tehran. Hence 10 parameterizations schemes that were more applicable for urban area with complex topography were validated for stable boundary layer height estimation. These relations were defined using various meteorological parameters such as friction velocity, Monin-Obukhov length, Brunt-Vaisala frequency and Coriolis parameter. Since some of the meteorological parameters were not measured directly, we used some relationships to calculate them, e.g.  $u_*^2 = \sqrt{(u'w')^2 + (v'w')^2}$ ,  $\bar{u}'w' = -k_{m_u} \frac{\partial \bar{u}}{\partial z}$  and  $\bar{v}'w' = -k_{m_u} \frac{\partial \bar{v}}{\partial z}$  for friction velocity,  $L = -u_*^3 \bar{T} / kg \bar{w'} \bar{T}'$  for Monin-Obukhov length,  $N = \sqrt{\frac{g}{\theta} \frac{\partial \theta}{\partial z}}$  and ( $\theta = T(p_0 / p)^{R/c_p}$ ) for Brunt-Vaisala frequency.

The first parameterization scheme was introduced by Zilitinkevich (1972):

$$h = c_1 \left( \frac{u_* L}{f} \right)^{1/2}, \quad c_1 = 0.13 - 0.74 \quad (1)$$

The best linear fit analysis was achieved using  $c_1 = 0.78$  that is more than those obtained by other researches for rural area. This relation estimates the stable boundary layer height for Tehran with RMSE (Root Mean Square Error) = 74m.

Benkly and Scholman (1979) calculated stable boundary layer height using wind speed at 10m height and a constant equals to 125. This relation for Tehran leads to over estimation that may be the cause of complicate wind structure for this terrain and it's seasonally variations. It is noticeable that this formula for rural area produces up to 264m error (Baklanov, 2001).

$$\text{Other parameterization such as } h = u_* \sqrt{\frac{2}{fN}}, \quad h = a \left( \frac{u_* L}{f} \right)^{1/2} + b, \quad h = 0.089 \frac{u_*}{L} + 85.1, \\ h = L \frac{0.3u_*}{f} \frac{1.0}{|L|} \frac{1.0}{1.0 + 1.9h/L}, \quad h = 0.06 \frac{u_*}{|f|}, \quad h = 28 u_{10}^{3/2}, \quad h = 0.4u_*^2 \left| \frac{fu_*^3}{L} \right|^{-1/2} \text{ defined by Venkatram (1980), Arya (1981, after Zilitinkevich, 1972), Arya (1981), Niewstadt (1981), Mahrt (1981)}$$

(1082), Nieuwstadt (1984), Nieuwstadt (1984) lead to  $R^2$  (*Coefficient of Determination*) = 0.2,  $R^2$  = 0.28,  $R^2$  = 0.3,  $R^2$  = 0.38,  $R^2$  = 0.38,  $R^2$  = 0.38,  $R^2$  = 0.27 respectively.

The last parameterization for stable boundary layer estimation was defined by Zilitinkevich and Miranov (1996):

$$\left(\frac{fh}{C_n u_*}\right)^2 + \frac{h}{C_s L} + \frac{Nh}{C_i u_*} + \frac{h |B_s f|^{1/2}}{C_{si} u_*^2} + \frac{h |Nf|^{1/2}}{C_{ir} u_*} = 1 \quad (2)$$

In this relation that was derived from equation of turbulent kinetic energy budget, 5 length scales were included. Three lengths for rotation effects (including Ekman layer and free atmosphere) and two lengths for Monin-Obukhov length and non rotating fluid were used. Recently this relation was applied in numerous boundary layer algorithms and air pollution models.

Performing least square analysis indicated that the results of the last parameterization have good agreements with observations. It produced  $RMSE = 54m$  and  $R^2 = 0.60$  for Tehran.

Results indicated that applying relations defined according to the individual meteorological parameters may lead to less accuracy for Tehran. In this research Zilitinkevich and Miranov (1996) parameterization compare to the other relations, includes more physical and thermo dynamical parameters for surface and free atmosphere, so it can estimate the stable boundary layer height with more consistency to the observations for urban areas with complex topography

**Key word:** Urban boundary layer, Stable boundary layer parameterization, Tehran,  $PM_{10}$  concentration

## ۱ مقدمه

شهری در بسیاری از تحقیقات مورد توجه قرار گرفته است (جدول ۱). علی‌رغم پیشرفت مدل‌های تلاطمی در دهه‌های اخیر، برآورد ارتفاع اختلاط همچنان از کمیت‌های بحث‌برانگیز است. برای رفع این مشکل، خودهاشنان با توجه به نمای فضای شهری، ارتفاع اختلاط را از وجوده گوناگون بررسی کردند. برای مثال: لایه مرزی در ورودی شهری، لایه پایدار شبانه در برگردانده لایه وارونه، وارونگی شبانه ارتفاعه، ناهمگنی افقی زیاد و نامانایی زمانی، جزیره گرمایی و زبری منطقه شهری، شارهای گرمای آنتروپوژنیک از خیابان‌ها به فضای شهر، پلوم شهری پایین‌سو، مقیاس اثرات شهری در فضا و زمان، شبیه‌سازی شرایط آرام، ویژگی‌های غیر محلی شکل‌گیری لایه آمیخته شهری و تاثیر شارهای بخار آب در مناطق ساحلی. در این بررسی‌ها ارتفاع اختلاط به

لایه مرزی شهری در مقایسه با لایه مرزی غیرشهری همگن دارای تلاطم و اختلاط بیشتری است که دلیل آن زبری سطح و گرمایش بیشتر در منطقه شهری است. این امر منجر به ناهمگنی افقی ارتفاع اختلاط در این مناطق می‌شود. البته تغییر زبری و گرمایش از مرکز به حومه شهر موجب ایجاد ناهمگنی افقی در سایر میدان‌های هواشناختی نیز می‌شود که بر پخش و انتقال آلاینده‌ها تاثیر ویژه‌ای دارد. همچنین ویژگی‌های تلاطمی لایه مرزی مثل انتقال، پخش و اختلاط تعیین می‌کند که آیا آلاینده‌ها پخش، رقيق یا ماندگار شده‌اند که این می‌تواند در ایجاد شرایط بحرانی و حد تاثیر گذار باشد. از آنجا که عمق اختلاط و یا ارتفاع لایه مرزی حجم در دسترس برای پخش آلودگی را تعیین می‌کند، از ورودی‌های مدل‌های آلودگی محسوب می‌شود. بنابراین اهمیت برآورد صحیح این پارامتر در فضای

رشد ارتفاع لایه آمیخته در منطقه روستایی است (باکلانو، ۲۰۰۱a-b).

قابل توجه است که لایه پایدار شبانه که در برگیرنده لایه وارونه سطحی است (که با سازوکارهای گوناگون جوی مانند نشست هوا، جبههها ، تابش و فرارفت رخ می دهد) بر تهويه یا انباشت آلودگی تاثیر بسزایی دارد. در شب در منطقه روستایی به علت سرمایش سطحی، شار گرما با ارتفاع افزایش می یابد، اما در منطقه شهری علاوه بر شار پایین سو (ناشی از وارونگی) شار بالاسو (ناشی از منطقه شهری) نیز وجود دارد. بنابراین ارتفاع اختلاط در شهر، بیش از روستا است (باکلانو و کوچین، ۲۰۰۳). لازم به ذکر است که توبوگرافی شهرها، اعم از فضای صاف، کوه-دره‌ای، ساحلی و شمالی-جنوبی هر کدام به نحوی بر شکل‌گیری ارتفاع اختلاط در آن منطقه تاثیرگذار است (بورناشتاین، ۲۰۰۱). برای مثال مشاهده لایه مرزی شبانه با چینه‌بندی پایدار در شهرهای امریکا رایج نیست و فقط یک لایه وارونه بالارفته می‌تواند شکل بگیرد (بورناشتاین، ۲۰۰۱)، اما در شهرهای اروپایی بهویژه در شمال اروپا لایه مرزی شبانه پایدار یک پدیده معمولی است (ریلو، ۱۹۹۷؛ راسمون و همکاران، ۱۹۹۹). زمان شکل‌گیری لایه وارونه در منطقه شهری به طور متوسط ۲/۵ ساعت بعد از غروب است در حالی که لایه وارونه سطحی در روستا قبل از غروب تشکیل می‌شود.

با توجه به اهمیت بررسی آلودگی در شب، کوشش‌های فراوانی برای پیش‌بینی عمق لایه پایدار شبانه صورت گرفته است و روش‌های متنوعی (مانند اندازه‌گیری، مدل‌سازی و پارامتری‌کردن، خروجی مدل‌های پیش‌بینی هواشناسی) آزمایش شده است اما این آزمایش‌های اغلب در مناطق غیرشهری صورت گرفته است (سیبرت و همکاران، ۱۹۹۹).

کمک نیم رخ و با روش‌های انرژی جنبشی پیچکی یا میرایی پیچک، عدد ریچاردسن و پارامتر کردن‌های متفاوت محاسبه شده است.

از آنجا که در ساعت‌های متفاوت شبانه‌روز، واداشت‌های متنوعی می‌توانند ارتفاع اختلاط را کم و زیاد کنند، لذا این ارتفاع دارای چرخه شبانه‌روزی است. از این سو در اغلب تحقیقات ویژگی‌های اساسی لایه مرزی و رفتار لایه مرزی در روز (شامل رشد و توسعه لایه آمیخته) و ویژگی‌های آن را در شب (مانند ارتفاع لایه پایدار شبانه و شدت و عمق لایه وارونه) به طور مجزا بررسی می‌شود (پرینگر و جوفر، ۲۰۰۵؛ باکلانو و همکاران، ۲۰۰۹). آنچه بررسی ارتفاع اختلاط را در منطقه شهری نسبت به روستایی پیچیده‌تر می‌کند، همین وابستگی زمانی این پارامتر است. در روز که جهت شارها در مناطق روستایی و شهری همسو است، اغلب تحقیقاتی که در منطقه روستایی صورت گرفته برای برآورد ارتفاع اختلاط در منطقه شهری نیز جواب‌گو است. باکلانو و کوچین (۲۰۰۳) به این نتیجه رسیدند که در روز، ارتفاع اختلاط بین شهر و روستا تفاوت چندانی ندارد. در تحقیق آنها گرمایش آنتروپوژنیک نقش زیادی نداشت و زبری نقش اساسی را ایفا می‌کرد. لذا در شهر مورد بررسی آنها در روز و در شرایط هم‌رفتی اثر شهر، امواج درونی لایه مرزی و نسیم دریا عمق اختلاط را تعیین می‌کرد. این نتیجه یافته‌های سیبرت و همکاران (۱۹۹۹) را تأیید می‌کرد. آنها دریافتند که روش‌های استاندارد که بر اساس تحقیقات در مناطق غیرشهری به دست آمده برای برآورد ارتفاع اختلاط در منطقه شهری فقط در روز معتبر است. تحقیقات نشان می‌دهد که آهنگ رشد ارتفاع اختلاط برای شهرهای گوناگون تفاوت زیادی ندارد و در ساعت ۳ بعدازظهر آهنگ رشد ارتفاع لایه آمیخته در منطقه شهری نصف آهنگ

جدول ۱. نمونه‌ای از تحقیقات صورت گرفته در لایه آمیخته در فضای شهری.

شماره	محقق	منطقه مورد بررسی
۱	روتاک و همکاران (۲۰۰۱)	بررسی لایه مرزی شهری در شهر باسل
۲	چن و همکاران (۲۰۰۱)	یکسال مشاهده ویژگی‌های لایه آمیخته شهری در تسوکوبای توکیو
۳	کوپر و ایچینگر (۱۹۹۴)	بررسی لایه مرزی در شهر مکزیک
۴	کلک و گریمون (۲۰۰۱)	بررسی لایه مرزی در کالیفرنیا

جوفر و همکاران (۲۰۰۱) بود. در این روش آنها تغییرپذیری ارتفاع لایه مرزی پایدار و ناپایدار را با مقیاس‌های طولی متفاوت و ترکیب آنها بررسی کردند. برای شرایط پایدار مقیاس طولی مونین-ابخوف ( $L$ ) و  $U_* = u_*/N$  سرعت اصطکاکی و  $N$  بسامد برونت-وایسالا) و در شرایط ناپایدار که تلاطم مکانیکی و شناوری وجود دارد از انرژی جنبشی پیچکی بی‌بعد استفاده کردند و  $L$  و یا  $\mu_N = N/f$  (پارامتر کوریولیس) را به منزله مقیاس طولی در پارامتری کردن به کار برداشت، که مورد اخیر در بسیاری از مدل‌های پخش برای پیش‌بایی و پیش‌بینی آلودگی در فضای شهری به کار رفته است.

جدول ۲. نمونه‌ای از الگوریتم‌های تهیه شده برای بررسی لایه مرزی در فضای شهری.

شماره	نام الگوریتم	محقق
۱	OML	برکوویچ و پراهم (۱۹۸۲)، اولسن و همکاران (۱۹۹۲)
۲	HPDM	هانا و چنگ (۱۹۹۲)
۳	RODOS	میکل سن و همکاران (۱۹۹۷)
۴	RAMMET-X	برمن و همکاران (۱۹۹۷)
۵	MIXEMUP	بکلی و شولمن (۱۹۷۹)
۶	CALMET	سیری و همکاران (۱۹۹۵)
۷	SUBMESO	آنکوتین و همکاران (۱۹۹۴)

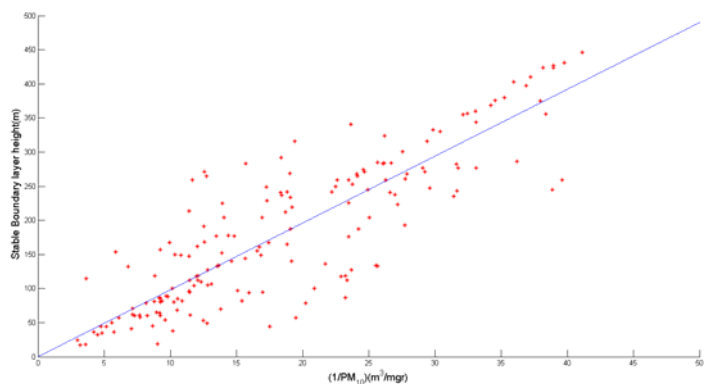
از آنجا که عمق لایه پایدار را در همه ایستگاه‌های هواشناسی، بهویژه در منطقه شهری نمی‌توان به طور مستقیم و با وسائل و ادوات هواشناسی اندازه‌گیری کرد، لذا برای برآورد آن، بهویژه به منزله ورودی مدل‌های پخش، باید از روش‌های پارامتری کردن، استفاده از نیمرخ‌های قائم اندازه‌گیری شده و یا مقادیر شبیه‌سازی شده استفاده کرد (فیشر و همکاران، ۱۹۹۸). ویکر و مارت (۲۰۰۴) تحقیقات صورت گرفته برای بررسی عمق لایه پایدار شبانه را به دو دسته تقسیم کردند. دسته اول به کمک استفاده از شارهای سطحی و دسته دوم بر اساس استفاده از روش عدد ریچاردسن استوار است. با کلانو (۲۰۰۱ a-b) عمق لایه پایدار شبانه را به کمک بررسی نیمرخ‌های قائم و با استفاده از عدد ریچاردسن مورد تحقیق قرارداد و دریافت که این روش در منطقه شهری نتایج را فربود آورد می‌کند. البته برای برآورد ارتفاع لایه پایدار الگوریتم‌های گوناگونی نیز برای منطقه شهری تهیه شده است (جدول ۲). برمن و همکاران (۱۹۹۷) نتایج حاصل از سه الگوریتم CALMET و MIXEMUP و RAMMET-X در برآورد عمق اختلاط با مشاهدات میدانی مقایسه کردند و روشن ساختند که الگوریتم CALMET جواب قابل قبول تری به دست می‌دهد. البته این الگوریتم هم، در سرعت باد کم و زیاد، نتایج را فربود آورد و فرابرآورد می‌کند. لازم به ذکر است که این جواب نامناسب فقط به دلیل شهری بودن منطقه نیست. روش جالب دیگری که برای برآورد ارتفاع لایه پایدار شبانه در منطقه شهری آزمایش شد، روش

جدول ۳. تعداد روزهایی که میزان  $PM_{10}$  از حد استاندارد سازمان جهانی بهداشت بیشتر بوده است، تعداد روزهایی با داده‌های کامل و نسبت آنها برای سال‌های ۱۹۹۸ تا ۲۰۰۵ و برای ایستگاه‌های مرکزی و شمال شهر (زوارضا و همکاران، ۱۳۹۸).

سال	۱۹۹۸	۱۹۹۹	۲۰۰۰	۲۰۰۱	۲۰۰۲	۲۰۰۳	۲۰۰۴	۲۰۰۵
ایستگاه واقع در پایه کوه								
تعداد روزهای بیش از حد استاندارد			۷۷	۲۵۳	۱۷۹	۲۲۵	۲۲۴	۲۹۰
تعداد روزهای با داده‌های کامل			۱۴۴	۲۷۱	۲۰۷	۳۰۶	۳۲۳	۳۴۹
(درصد (%))			۵۳	۹۳	۸۶	۷۴	۶۹	۸۵
ایستگاه واقع در مرکز شهر								
تعداد روزهای بیش از حد استاندارد	۳۰۴	۳۰۰	۳۰۸	۳۴۴	۲۸۱	۳۰۳	۲۶۶	۲۳۸
تعداد روزهای با داده‌های کامل	۳۳۳	۳۲۵	۳۳۹	۳۶۵	۳۲۲	۳۳۲	۳۳۹	۳۵۶
(درصد (%))	۹۱	۹۲	۹۱	۹۴	۸۵	۹۱	۷۸	۷۷

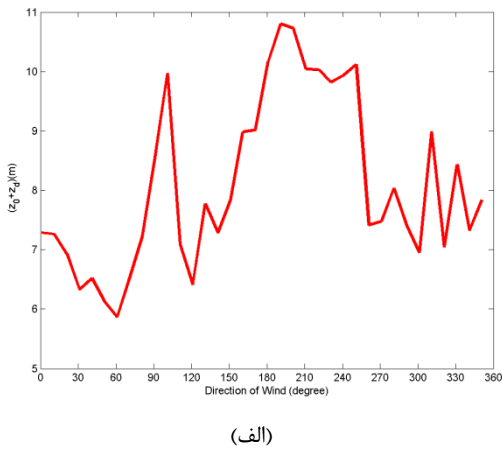
در ساعت ۰۰:۰۳ به وقت محلی را بهوضوح نشان  $PM_{10}$  در دهد، در این پژوهش سعی شده است تا عمق لایه پایدار شبانه در تهران به کمک اندازه‌گیری‌ها محاسبه شود و روابط پارامتری شده متنوع برای برآورد آن مورد ارزیابی قرار گیرد. همچنین در صورت لزوم، برخی ضرایب تغییر داده شود تا بتوان به بهترین برازش برای هر پارامتری کردن دست یافت. بهین ترتیب می‌توان بهترین رابطه برای برآورد عمق لایه پایدار شبانه در شهر تهران را که بر غلظت  $PM_{10}$  تاثیر بسزایی دارد بدست آورد. از این‌رو در بخش ۲ داده‌ها و ویژگی‌های منطقه مورد بررسی، در بخش ۳ مراحل کار با کاریست ا نوع پارامتری کردن و در بخش ۴ نتیجه‌گیری بیان خواهد شد.

در شهر تهران نیز تحقیقاتی برای برآورد عمق اختلاط صورت گرفته است که بیشتر به ویژگی‌های این کمیت در روز می‌پردازد (احمدی گیوی و ثابت قدم، ۱۳۸۵؛ علی‌اکبری بیدختی و بنی هاشم، ۱۳۷۶؛ خوش سیما و همکاران، ۱۳۸۵). با این حال بررسی عمق اختلاط در شب برای شهر تهران که در بیشتر مواقع سال غلظت آلاندنه  $PM_{10}$  در فضای آن بیش از حد استاندارد سازمان جهانی بهداشت است، اهمیت زیادی دارد (زوارضا و همکاران، ۱۳۹۸) (جدول ۳). با رجوع به تحقیقات پیشین، که کارایی اغلب مدل‌ها در پیش‌بینی و پیش‌یابی عمق اختلاط در روز و در فضای شهری، قابل قبول است و با توجه به شکل ۱ که ارتباط معکوس عمق لایه پایدار شبانه با غلظت

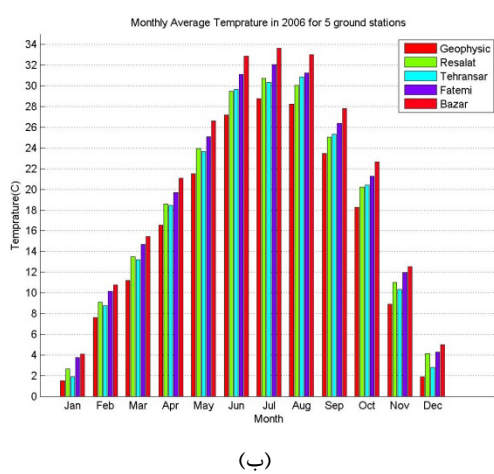


شکل ۱. محور افقی عکس غلظت ( $m^3/mg$ ) در ایستگاه موسسه ژئوفیزیک دانشگاه تهران و محور قائم ارتفاع لایه پایدار (m) شبانه در ایستگاه مهرآباد.

باد در دو ماه ژانویه و ژوئیه است. بررسی ساختار نیم رخ باد در ۱۲ ماه سال نشان می‌دهد که الگوی باد در شب شامل سه لایه است که لایه اول دربرگیرنده جریانات کاتاباتیک و پایدار، لایه دوم در برگیرنده جریانات برگشتی و لایه سوم لایه باقیمانده است. در روز نیز نیم رخ باد شامل دو لایه در برگیرنده جریانات آناباتیک و برگشتی است. تغییرات فصلی تاثیر بادهای محلی آناباتیک و کاتاباتیک را می‌توان بوضوح در شکل ۴ مشاهده کرد (پگاهفر و همکاران، ۱۳۸۶).



(الف)



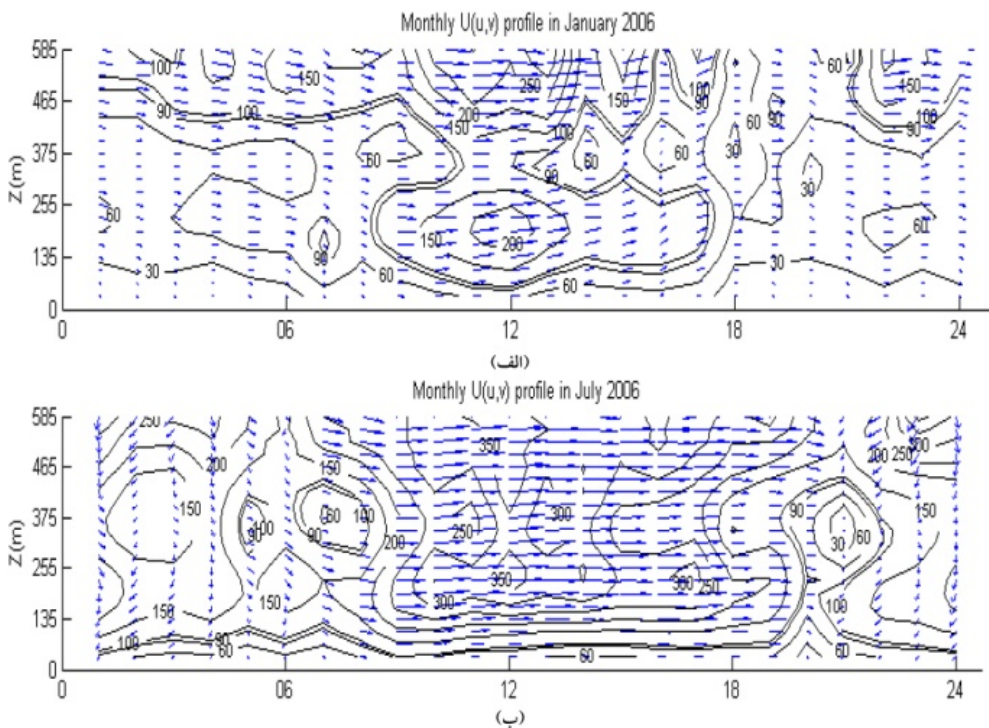
(ب)

شکل ۲. (الف) محور افقی جهت باد و محور قائم زیری و جابه‌جایی تراز صفر ( $Z_0 + Z_d$ ) و (ب) میانگین ماهانه دما برای ۵ ایستگاه ژئوفیزیک، رسالت، تهرانسر، فاطمی و بازار در ۱۲ ماه سال ۲۰۰۶.

## ۲ داده‌ها و منطقه مورد بررسی

در این بررسی از داده‌های ایستگاه جو بالا در شهرآباد تهران، اندازه‌گیری شده با دستگاه رادیوسوند برای مدت ۹ ماه اول سال ۲۰۰۸ استفاده شده است. این داده‌ها در دو زمان ۱۲،۰۰۰ و ۰۰،۰۰ به وقت گرینویچ و با بازه زمانی ۲ ثانیه اندازه‌گیری شده است. دستگاه رادیوسوند نیم رخ قائم کمیت‌های سمت و سرعت باد، رطوبت، فشار، ارتفاع ژئوپتانسیل، دما و دمای نقطه شبنم را اندازه‌گیری می‌کند. همچنین برای بهدست آوردن ضرایب پخش پیچک تکانه از داده‌های دستگاه سودار موسسه ژئوفیزیک واقع در ایستگاه موسسه ژئوفیزیک دانشگاه تهران استفاده شده است. این دستگاه سمت و سرعت باد، شارهای تکانه، شدت تلاطم را برای هر سه مولفه باد با تغییر قائم ۳۰ متری از ۱۵ تا ۵۸۵ متر و در بازه زمانی ۱۵ دقیقه ثبت کرده است. برای بررسی مقدار غلظت آلاینده‌ها در شهر تهران و بررسی ارتباط آنها با ارتفاع لایه پایدار از داده‌های  $PM_{10}$  و CO اندازه‌گیری شده در ایستگاه ژئوفیزیک نیز استفاده شد. از ویژگی‌های شهر تهران قرار گیری آن در دره‌های نیمه‌باز رشته‌کوه البرز است. برای اینکه به پیچیده بودن توپوگرافی منطقه شهری تهران اشاره شود، مجموع طول زیری و جابه‌جایی تراز صفر ( $Z_0 + Z_d$ ) محاسبه شده در ایستگاه ژئوفیزیک برای مدت یک سال بر حسب جهت باد در شکل ۲(الف) آمده است. همان‌طور که شکل ۲(الف) نشان می‌دهد، المان‌های زیری در جهت‌های مختلف دارای تغییرات زیادی هستند. زواررضا و همکاران (۲۰۱۰) روش ساختند که الگوی باد در منطقه تهران دارای دو مدل مختلف در طی شبانه‌روز است. از این‌رو برای اینکه تاثیر بادهای محلی خودمقیاس را در شهر تهران نشان داده باشیم، میانگین نیم رخ قائم باد از ۱۵-۵۸۵ متری برای ۱۲ ماه سال در ایستگاه ژئوفیزیک محاسبه و آورده شد.

شکل ۳ نشان‌دهنده تغییرات چرخه شبانه‌روزی الگوی



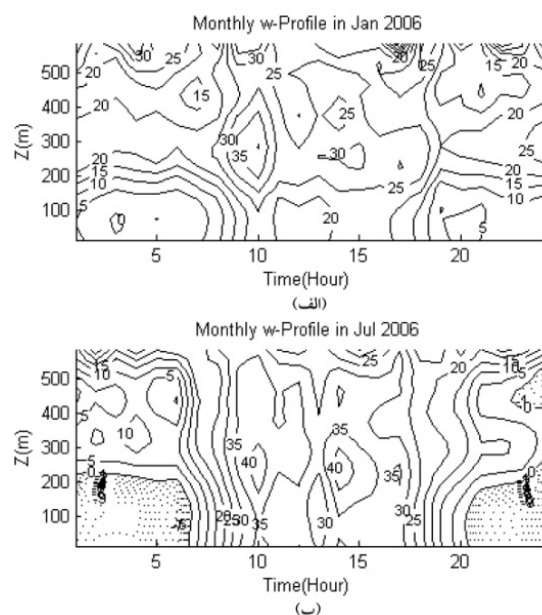
شکل ۳. نمایه قائم تغییرات میانگین ماهانه بردار افقی باد در ۲۴ ساعت در (الف) ژانویه و (ب) ژوئیه ۲۰۰۶.

و غروب رخ می‌دهد را می‌توان به عوامل هواشناختی از قبیل تغییر شارهای سطحی، تغییر دما و جهت باد و همچنین تغییر ارتفاع لایه آمیخته در روز و ارتفاع لایه پایدار در شب معرفی کرد. برای روشن شدن موضوع عمق لایه آمیخته روزانه در شهر تهران با توجه به قرارگیری آن در یک دره نیمه‌باز و ساختار شهری آن در فصل‌های گوناگون با استفاده از مشاهدات محاسبه شد. نتایج نشان می‌دهد که مقدار این پارامتر از ۱۷۳۹ تا ۵۵۴ متر تغییر می‌کند (شکل ۶). همچنین در شب نیز با توجه به تغییر فصلی جریانات کاتاباتیک که روی شهر شارش می‌یابد، عمق لایه پایدار شبانه از ۱۷ تا ۵۰۰ متر تغییر می‌کند.

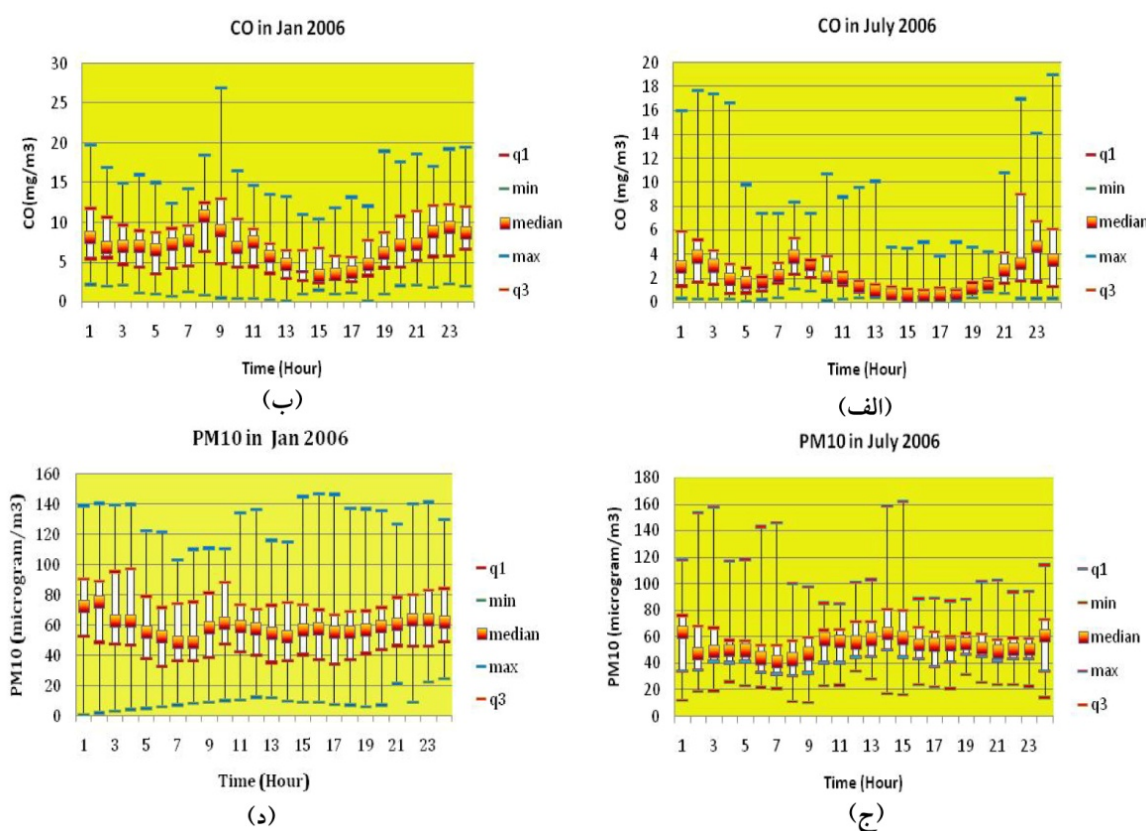
با توجه به پیچیدگی منطقه و شرایط بحرانی از نظر آلودگی به ویژه در شب‌های زمستانی در این پژوهش سعی شده است تا پارامتری کردن‌های گوناگون برای برآورد ارتفاع لایه پایدار شبانه ارزیابی شود.

برای درک بهتر تاثیر جزیره گرمایی ناشی از فضای شهری در منطقه مورد بررسی، می‌توان به گرادیان‌های افقی میانگین ماهانه دما برای ۵ ایستگاه در نقاط مختلف شهر اشاره کرد (شکل ۲-ب). شکل (۲-ب) نشان می‌دهد که بین نقاط گوناگون این شهر از ۲ تا ۴ درجه اختلاف دما وجود دارد که این می‌تواند بر ساختار الگوی باد و پخش، رقیق‌سازی و ماندگاری آلاینده‌ها نقش بسزایی داشته باشد. ویژگی‌های بررسی شده به‌وضوح متفاوت بودن ساختار لایه روزی جو شهری تهران و پیچیده بودن آن را نشان می‌دهد.

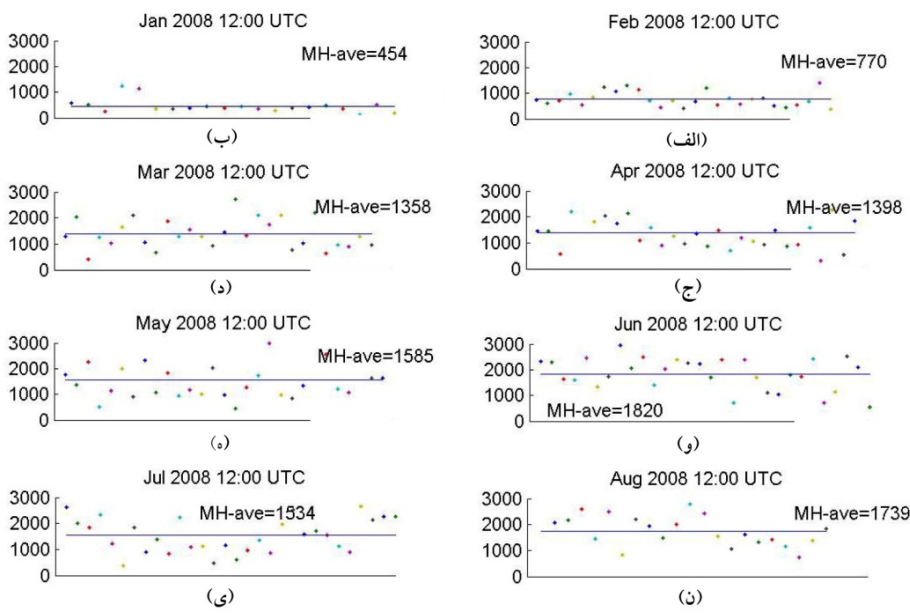
در شکل ۵ میانگین ماهانه چرخه شبانه‌روزی دو آلاینده گازی (CO) و آلاینده ذره‌ای (PM<sub>10</sub>) را برای دو ماه ژانویه و ژوئیه ۲۰۰۶ نشان می‌دهد. لازم به ذکر است که این الگو دارای دو مقدار بیشینه در شبانه روز است که هم از میزان ترافیک و هم ساعت‌های گذر تاثیر می‌پذیرد. تاثیر ساعت‌های گذر که در طلوع



شکل ۴. نمایه قائم میانگین ماهانه مولفه قائم بردار باد در ۲۴ ساعت در (الف) زانویه و (ب) ژوئیه ۲۰۰۶ (پگاهفر و همکاران، ۱۳۸۶).



شکل ۵. میانگین ماهانه تغییرات شباهنگی برای آلاینده گازی CO، (الف) در ژوئیه، (ب) در زانویه و برای آلاینده ذرهای PM<sub>10</sub>، (ج) در ژوئیه و (د) در زانویه ۲۰۰۶. نشانه چارک اول، q<sub>1</sub> نشانه چارک سوم، median میانه، max بیشینه و min کمینه را نشان می‌دهد.

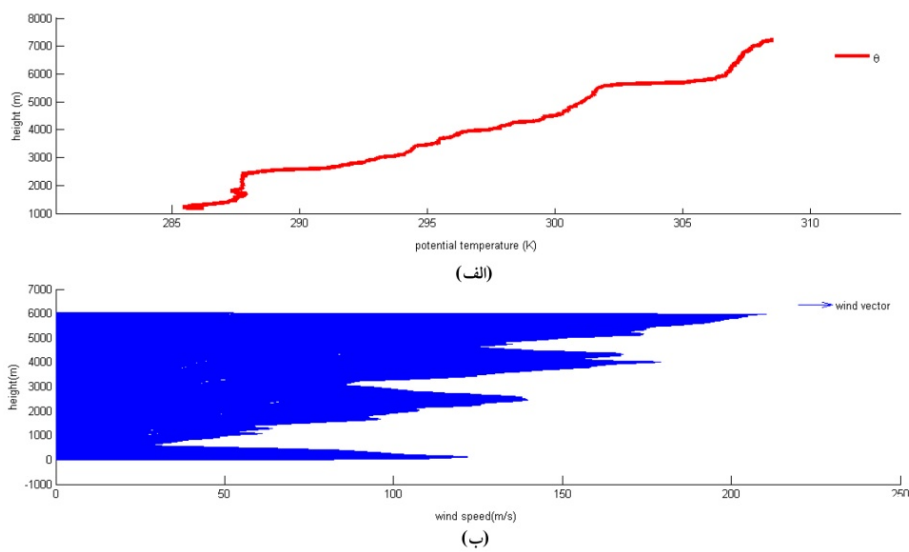


شکل ۶. ارتفاع لایه آمیخته روزانه برای روزهای مختلف در ماههای (الف) فوریه، (ب) آوریل، (ج) مارس، (و) ژوئن، (ه) می، (ن) اوت و (ی) ژوئیه سال ۲۰۰۸. تعداد داده‌های در دسترس در ماههای گوناگون، مختلف است.

شرح آنها در تحقیق ثابت‌قدم (۱۳۸۵) گردآوری شده است. با توجه به اینکه برخی از این پارامترها به طور مستقیم اندازه‌گیری نمی‌شود، ابتدا روش به کار رفته برای محاسبه آنها شرح داده می‌شود.

### ۳ مراحل کار و کاربست انواع پارامتری کردن

برای اندازه‌گیری عمق لایه پایدار شبانه از داده‌های دستگاه رادیوسوند از روش‌های متنوعی استفاده شده است (شکل ۷). این روش‌ها عبارت‌اند از نمایه قائم دما، شارهای سطحی و عدد ریچاردسن که



شکل ۷. (الف) نیم‌رخ قائم دمای پتانسیلی و (ب) نمایه قائم بردار افقی باد در شب زمستانی.

استفاده از رابطه  $f = 2\Omega \sin(\varphi)$  محاسبه می‌شود که  $\Omega = 1/7 \times 10^{-4}$  و  $\varphi$  عرض جغرافیایی است که در ایستگاه موردنظر برابر  $35/73$  درجه در نظر گرفته شده است.

### ۲-۳ ارزیابی روش‌های برآورد عمق لایه پایدار شباهن در منطقه شهری تهران

از آنجا که هدف این تحقیق ارزیابی روابط به کاررفته در مدل‌های پخش در برآورد عمق لایه پایدار شباه در منطقه شهری با توپوگرافی پیچیده (تهران) است، در ادامه به برخی از این روابط و نتیجه پیش‌بینی آنها در برآورد عمق لایه پایدار شباه تهران اشاره خواهد شد. قابل توجه است که مقایسه روش‌های به کار رفته با استفاده از دو کمیت (Root Mean Square Error) RMSE که بیانگر خطای جذر میانگین مربع‌ها و یا ضریب تعیین یا محدود ضریب همبستگی است، صورت پذیرفته است. لازم به ذکر است که در برخی موارد، ضرایب را قالب‌زنی کردۀایم تا به بهترین برازش برای منطقه دست یابیم. در این تحقیق برای محاسبه خطای جذر میانگین مربع‌ها، ضریب تعیین و یافتن ضرایب بهینه در هر رابطه از دستور "fittype" در نرم‌افزار متلب استفاده شده است. در ادامه به ارزیابی ۱۰ رابطه برای برآورد عمق لایه پایدار شباه که دانشمندان گوناگون از ابتدای دهه ۱۹۸۰ تاکنون معرفی شده می‌پردازیم.

**الف- زیلیتینکویچ** (۱۹۷۲) نشان داد که عمق لایه پایدار شباه به طول مونین-ابخوف، سرعت اصطکاکی و پارامتر کریوپلیس وابسته است.

$$h = c_1 \left( \frac{u_* L}{f} \right)^{1/2} \quad (1)$$

او میزان ثابت  $c_1$  را در تحقیق خود برابر  $0/4$  در نظر

### ۱-۳ برآورد پارامترهای لایه مرزی

برای محاسبه سرعت اصطکاکی، از رابطه بیریتر و هانا (۲۰۰۳) استفاده شد که بهترین راه محاسبه این کمیت را براساس شارهای تکانه طبق رابطه  $(u_* = [\overline{(u'w')}^2 + \overline{(v'w')}^2]^{1/4})$  اینکه شارهای تکانه در دستگاه رادیوسوند به‌طور مستقیم اندازه‌گیری نمی‌شود، برای برآورد آنها از روابط  $(\bar{v} = -k_{m_u} \frac{\partial \bar{v}}{\partial z}, \bar{u} = -k_{m_v} \frac{\partial \bar{u}}{\partial z})$  است که  $k_{m_u}$  و  $k_{m_v}$  ضرایب پخش پیچکی برای مولفه‌های افقی باد است. این ضرایب به کمک داده‌های دستگاه سودار برای شهر تهران محاسبه شده است. مقدار این پارامترها برای ارتفاع ۴۵-۱۵ متری به ترتیب  $(m^2/s) ۰/۲۹$  و  $۰/۵۹$  و برای ارتفاع ۷۵-۴۵ متری  $(m^2/s) ۰/۳۰$  و  $۰/۶۰$  است. قابل توجه است که مقدار ضرایب پخش پیچکی در راستای  $X$  نصف مقدار آن در راستای  $y$  است که به‌وضوح ناهمسانگرد بودن منطقه را نشان می‌دهد که می‌تواند بر تهویه آلینده‌ها به‌ویژه در شب تاثیرگذار باشد.

از دیگر پارامترهای به کاررفته در روابط، طول مونین-ابخوف است. این کمیت معیاری است که مشخص می‌کند تا چه ارتفاعی اثرات دینامیکی سطح وجود دارد. این طول از رابطه  $L = -u_*^3 \bar{T} / kg \overline{w'T'}$  محاسبه شده که  $g$  شتاب گرانشی،  $w'T'$  شار دما و  $k$  ثابت فون کارمن است که برابر  $0/4$  در نظر گرفته شده است.

بسامد برانت-وایسالا میزان چینه‌بندی زمینه را مشخص می‌کند و از رابطه  $N = \sqrt{\frac{g}{\theta} \frac{\partial \theta}{\partial z}}$  برآورد می‌شود (ز ارتفاع و  $\theta$  دمای پتانسیل است). لازم به ذکر است که این پارامتر در بالای لایه مرزی اندازه‌گیری می‌شود و دمای پتانسیل نیز از رابطه پواسون  $(\theta = T(p_0 / p)^{R/C_p})$  محاسبه شده است.

پارامتر کوریولیس که بیانگر اثر چرخش زمین است با

۵- آریا (۱۹۸۱) همچنین عمق لایه پایدار شبانه را بدون توجه به پارامتر کربولیس نیز فرمولبندی کرد.

$$h = 0.089 \frac{u_*}{L} + 85.1 \quad (4)$$

ارزیابی این رابطه برای منطقه مهرآباد در شکل (۵-۸) دیده می‌شود. بهینه برازش برای داده‌های ایستگاه مورد نظر با ثابت  $0.89$  به جای  $0.89$  به دست آمد. در این رابطه  $R^2 = 0.83$  است که از کارایی این رابطه برای منطقه غیر شهری ( $R^2 = 0.48$ ) کمتر است. همچنین این رابطه  $RMSE = 75$  متر را در منطقه تهران تولید کرد که نسبت به منطقه غیر شهری که  $RMSE = 86$  متر است، کمتر است.

و- نیواستات (۱۹۸۱) برای برآورد عمق لایه پایدار شبانه در منطقه غیر شهری علاوه بر تاثیر سرعت اصطکاکی و پارامتر کربولیس، اثر نسبت شارهای دما و تکانه را از راه وارد کردن طول مونین-ابخوف در یک معادله درجه دو لحاظ کرد.

$$h = L \frac{0.3u_*}{f |L|} \frac{1.0}{1.0 + 1.9h/L} \quad (5)$$

شکل (۸-و) کاربرد این رابطه را برای منطقه شهری دارای توپوگرافی (تهران) نشان می‌دهد. این رابطه  $RMSE = 74$  متر و  $R^2 = 0.38$  را برای تهران نشان می‌دهد که نشانه برازش بهتر نسبت به روابط گذشته است. (ز) مارت (۱۹۸۲) با به کار گیری رابطه (۶) برای منطقه غیر شهری به  $RMSE = 18$  متر،  $R^2 = 0.48$  و بایاسی برابر  $-24/4$  دست یافت.

$$h = 0.06 \frac{u_*}{|f|} \quad (6)$$

استفاده از این رابطه برای منطقه شهری تهران  $RMSE = 71$  متر و  $R^2 = 0.38$  به وجود آورد (شکل ۹-ب). لازم به ذکر است که بهینه برازش در این تحقیق با استفاده از ثابت  $0.78$  به جای  $0.06$  به دست آمد.

گرفت که در تحقیقات بعدی آن را از  $0.13$  تا  $0.74$  متغیر در نظر گرفتند. در این تحقیق بهینه برازش با  $c_1 = 0.78$  به دست آمد (شکل ۸-ب). استفاده از این رابطه برای برآورد عمق لایه پایدار شبانه  $RMSE = 74$  متر را برای ایستگاه مهرآباد ایجاد می‌کند. ب- بنکلی و شولمن (۱۹۷۹) ارتفاع لایه پایدار شبانه را فقط تابعی از سرعت باد در ارتفاع  $10$  متری معرفی کردند ( $h = 125 u_{10}$ ). از آنجا که دستگاه رادیو سوند در زمان‌های مختلف در ترازهای گوناگون اندازه گیری می‌کند، لذا برای استفاده از  $10$  از درونیابی خطی استفاده شده است. شکل (۸-الف) نشان می‌دهد که استفاده از این رابطه در برآورد ارتفاع لایه پایدار شبانه منجر به فرابرآوردن شدن آن می‌شود. دلیل این امر را می‌توان پیچیده بودن الگوی باد در منطقه مورد بررسی دانست که در قسمت ۲ توضیح داده شد. البته این رابطه در منطقه غیر شهری نیز  $264$  متر خطا تولید می‌کند (باکلانو، ۲۰۰۱ a-b).

ج- ونکاترم (۱۹۸۰) اولین بار تاثیر چینه‌بندی دمای زمینه در برآورد عمق لایه پایدار شبانه را در نظر گرفت.

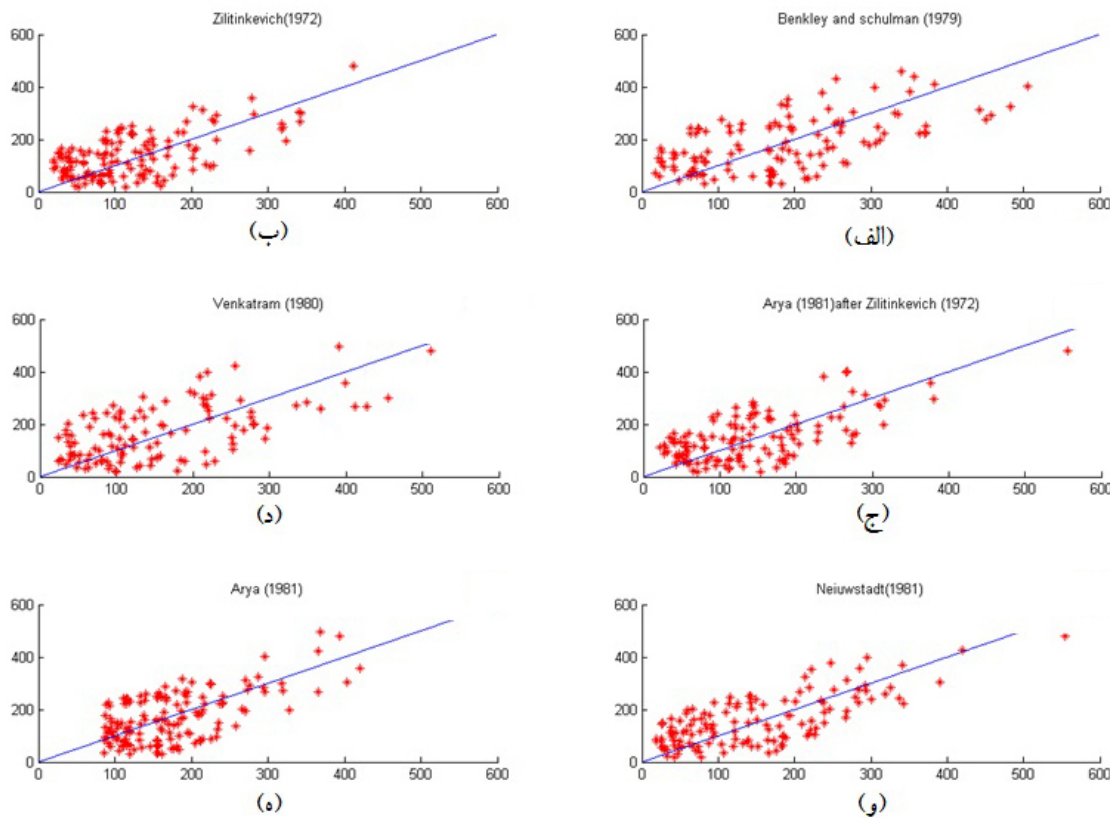
$$h = u_* \sqrt{\frac{2}{fN}} \quad (2)$$

شکل (۸-د) اعتبار این رابطه در برآورد ارتفاع لایه پایدار شبانه را در تهران نشان می‌دهد ( $R^2 = 0.2$ ).

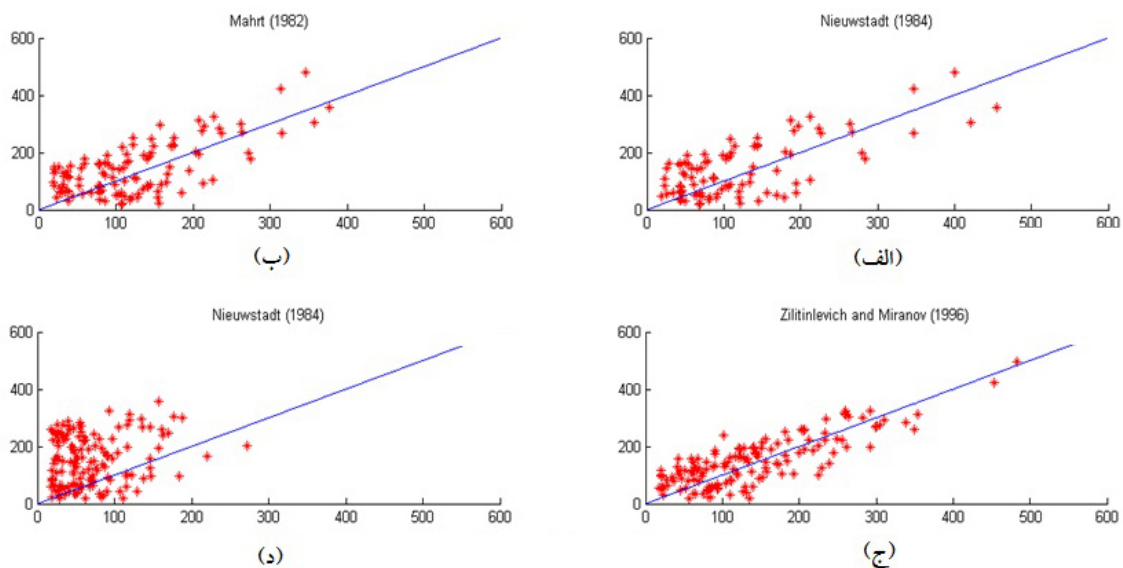
د- آریا (۱۹۸۱) رابطه زیلیتینکویچ (۱۹۷۲) را تصویح کرد و به صورت

$$h = a \left( \frac{u_* L}{f} \right)^{1/2} + b \quad (3)$$

عرضه کرد که  $a$  برابر  $0.42$  و  $b$  برابر  $29/3$  بود. کاربرد این رابطه در پیش‌بینی عمق لایه پایدار شبانه برای شهر تهران در شکل (۸-ج) نشان داده شده است. بهینه برازش برای این منطقه با  $a = 0.52$  و  $b = 86/28$  به دست آمد ( $R^2 = 0.28$ ).



شکل ۸ محور قائم ارتفاع لایه پایدار شباهن مشاهداتی و محور افقی عمق لایه پایدار شباهن به دست آمده از پارامتری کردن های (الف) بنکلی و شولمن (۱۹۷۹)، (ب) زیلیتینکویچ (۱۹۷۲)، (ج) آریا (۱۹۸۱) بعد از زیلیتینکویچ (۱۹۷۲)، (د) ونکاترام (۱۹۸۰)، (و) نیواستات (۱۹۸۱) و (ه) آریا (۱۹۸۱).



شکل ۹. محور قائم ارتفاع لایه پایدار شباهن مشاهداتی (متر) و محور افقی عمق لایه پایدار شباهن (متر) به دست آمده از پارامتری کردن های (الف) نیواستات (۱۹۸۴)، (ب) مارت (۱۹۸۲)، (ج) زیلیتینکویچ و میرانو (۱۹۹۶) و (د) نیواستات (۱۹۸۴).

(زیلیتینکویچ، ۱۹۷۲) و پایداری جو آزاد (پولارد و همکاران، ۱۹۷۳) است. دو مقیاس طولی دیگر  $L$  و  $u_* / N$  برای شاره‌های چینه‌بندی شده پایدار غیرچرخان است که اولین بار کیتایی گورودوسکی (۱۹۶۰) و کیتایی گودوروسکی و جوفر (۱۹۸۸) آن را به کار برداشتند. زیلیتینکویچ و میرانو (۱۹۹۶) به کمک اندازه‌گیری‌های میدانی و شبیه‌سازی‌های پیچیکی بزرگ ثابت‌ها را برابر  $C_{ir} = 1/7$ ،  $C_s = 1/10$ ،  $C_i = 20$  و  $C_n = 0/5$  در نظر گرفتند. در سال‌های اخیر از این رابطه به دفعات در مدل‌سازی‌های آلودگی هوا استفاده شده است (روبرتسون و همکاران، ۱۹۹۶؛ برندت، ۱۹۹۸؛ لینک ویست، ۱۹۹۹؛ باکلانو، ۱۹۹۹؛ آنکوتین و همکاران، ۱۹۹۹).

با توجه اهمیت این رابطه و کاربرد فراوان آن در مدل‌های آلودگی، در این پژوهش سعی شده است تا کارایی آن در برآورد ارتفاع لایه پایدار شبانه تهران ارزیابی شود. همان‌طور که شکل ۹-ج نشان می‌دهد این رابطه  $RMSE = 54$  متر و  $R^2 = 0/60$  تولید کرد که از همه روابط گذشته، خطای کمتر و برازش بهتری در برآورد ارتفاع لایه مرزی پایدار را به دست داد.

#### ۴ نتیجه‌گیری

با توجه به اهمیت بررسی آلودگی در شهرها، بهویژه در شب، کوشش‌های فراوانی برای برآورد عمق لایه پایدار شبانه در این مناطق شده است. از آنجا که عمق اختلاط از ورودی‌های مدل‌های پخش است، برآورد آن در منطقه شهری اهمیت زیادی دارد. از آن جمله می‌توان به اجرای آزمایش‌های میدانی، مدل‌سازی‌های عددی و پارامتری کردن‌های گوناگون اشاره کرد. لازم به ذکر است که اعتبار این روابط گاه در مناطق روزتایی نیز با ضرایب همبستگی کوچک همراه بوده است. از این رو انتظار نمی‌رود که کاربرد آنها در منطقه شهری با ضریب

ح- نیواستات (۱۹۸۴) برای ساده‌سازی برآورد ارتفاع لایه پایدار شبانه از رابطه (۷) استفاده کرد که  $RMSE = 13/9$  متر،  $R^2 = 0/48$  و بایاسی برابر  $6/27$  برای منطقه غیر شهری به وجود می‌آورد. کاربرد این رابطه برای ایستگاه مهرآباد  $RMSE = 75$  متر و  $R^2 = 0/38$  تولید کرد (شکل ۹-الف).

$$h = 28 u_{10}^{3/2} \quad (7)$$

ط- نیواستات (۱۹۸۴) در تحقیق بعدی خود پارامترهای سرعت اصطکاکی، پارامتر کریولیس و طول مونین-ابخوف را به کار گرفت.

$$h = 0.4 u_*^2 \left| \frac{f u_*^3}{L} \right|^{-1/2} \quad (8)$$

این رابطه برای منطقه غیرشهری  $RMSE = 173$  متر،  $R^2 = 0/27$  و بایاسی برابر  $24/4$  تولید می‌کرد. در این تحقیق کاربرد این رابطه در شهر تهران بررسی شد که  $123$  متر را تولید کرد (شکل ۹-د).

(ی) زیلیتینکویچ و میرانو (۱۹۹۶) برای پیش‌بایی لایه پایدار شبانه و با به کار گیری معادله بودجه انرژی جنبشی تلاطمی، رابطه (۹) را با چند محدودیت به دست آورده‌اند. که  $C_{ir}$ ،  $C_s$ ،  $C_i$  و  $C_n$  ضرایب بی‌بعد و  $B_s = (g / \theta) \overline{w' \theta'} = -L / u_*^3$  است.

$$\left( \frac{fh}{C_n u_*} \right)^2 + \frac{h}{C_s L} + \frac{Nh}{C_i u_*} + \frac{h |B_s f|^{|1/2|}}{C_{si} u_*^2} + \frac{h |Nf|^{|1/2|}}{C_{ir} u_*} = 1 \quad (9)$$

یکی از نقاط ضعف این رابطه استفاده از پارامتری کردن با عدم قطعیت بیشتر برای اتلاف انرژی است. در این رابطه از ۵ مقیاس طولی استفاده شده است. سه تا از آنها مربوط به تاثیر چرخش است که در برگیرنده پارامتر  $|f| / u_*$  برای لایه اکمن خشی (راسبی و مونتکومری، ۱۹۳۵) و دورگیرنده جملات  $h \sim u_*^2 / |fB_s|^{1/2}$  و  $h \sim u_*^2 / |fN|^{1/2}$  به ترتیب برای لایه‌های اکمن که تحت تاثیر شار شناوری سطحی

قرار دادن داده‌های موردنیاز، تشکر فراوان به جا آوریم.

#### منابع

- احمدی گیوی، ف. و ثابت قدم، س.، ۱۳۸۵، بررسی حساسیت مدل میان مقیاس MM5 در استفاده از طرحواره‌های MRF و Eta-Mellor-Yamada برآورد عمق لایه آمیخته جو شهری. مجموعه مقالات ششمین همایش پیش‌بینی عددی وضع هوای ۱۱۶-۱۰۸.
- پگاهفر، ن. علی اکبری بیدختی، ع. ع. و زوار رضا، پ.، ۱۳۸۶، تاثیر سیکل شبانه‌روزی جریان‌های میان مقیاس بر آلودگی هوای در تهران، جلد هفتم کتاب مقابله با سوانح طبیعی، انتشارات قطب علمی مهندسی نقشه‌برداری و مقابله با سوانح طبیعی.
- ثبت قدم، س.، ۱۳۸۵، برآورد عمق لایه آمیخته جو شهری (تهران) با استفاده از یک مدل میان‌مقیاس پیش‌بینی عددی، پایان‌نامه کارشناسی ارشد، موسسه ژئوفیزیک. خوش‌سیما، م.، علی اکبری بیدختی، ع. ع.، خالصی فرد، ح. ر. و عبدی، ف.، ۱۳۸۵، کاربرد لیدار در تعیین عمق لایه آمیخته جو شهری و تغییرات ذرات آلینده هوای اولین همایش تخصصی مهندسی محیط زیست.
- علی اکبری بیدختی، ع. ع. و بنی‌هاشم، ت.، ۱۳۷۶، لایه آمیخته شهری و آلودگی هوای نشریه محیط‌شناسی ۶۰، ۳۰-۵۲.
- Anquetin, S., Chollet, J. P., Coppalle, A., Mestayer, P. and Simi, J. F., 1999, The urban atmosphere model SUBMESO, Proc. EUROTAC Symp. '98, P.M. Borrel & P. Borrel eds., WIT Press.
- Arya, S. P. S., 1981, Parameterizing the height of the stable atmospheric boundary layer, *J. Appl. Meteorol.*, **20**, 1192-1202.
- Baklanov, A., 1999, Modeling of episodes of atmospheric transport and deposition: hypothetical nuclear accidents in North-West Russia', in Nuclear Risks, Environmental and Development Cooperation in the North of Europe, CERUM, University of Umeå, Sweden, pp. 65-80.

همبستگی زیاد همراه باشد، زیرا در منطقه شهری گاه رژیم باد همدیدی، جریانات میان‌مقیاس محلی و منطقه‌ای و توپوگرافی مانند تاثیر سطح و کانونی شهری، اثر خشی کننده‌ای دارند. بنابراین صرفا در نظر گرفتن یک پارامتر نمی‌تواند در برآورد عمق لایه پایدار موثر واقع شود.

بررسی غلظت آلینده PM<sub>10</sub> بر حسب عمق لایه پایدار شبانه در تهران نشان داد که با برآورد صحیح از ارتفاع اختلاط در این شهر، می‌توان با دقت بیشتری به غلظت آلانینه دست یافت. از این‌رو در این تحقیق از ۱۰ رابطه برای پارامتری کردن (به کار رفته در مدل‌های پخش) استفاده شد تا اعتبار آنها در این منطقه ارزیابی شود. این روابط تاثیر انواع پارامترها و کمیت‌های هواشناختی با درجات متفاوت را بر ارتفاع لایه پایدار در بر می‌گیرد.

نتایج حاصل از این پژوهش نشان می‌دهد که روابط به کار رفته با ضرایب تعیین از ۰/۱ تا ۰/۶ و تولید خطای ۵۴ تا ۱۲۳ متر می‌توانند عمق لایه پایدار شبانه را برآورد کنند. از بین این ده پارامتری کردن بررسی شده، رابطه عرضه شده زیلیتینکویچ و میرانو (۱۹۹۶) که در بسیاری از مدل‌های پخش کاربرد دارد، در منطقه تهران با ضرایب همبستگی ۰/۶ و خطای ۵۱ متر عمق لایه پایدار شبانه را برآورد می‌کرد که از سایر روابط برآش بهتری بر داده‌ها به وجود می‌آورد. دلیل برآش بهتر این رابطه نسبت به سایر روابط را می‌توان چنین بیان کرد که این رابطه در برگیرنده چند مقیاس طولی است و اکثر پارامترهای لایه مرزی و کمیت‌های هواشناختی موثر در عمق لایه پایدار را در نظر می‌گیرد. امید است تا با نتایج بدست آمده از این تحقیق بتوان در بهبود مدل‌های پخش برای پیش‌بینی و پیش‌بایی آلینده‌ها برای شهر تهران گام موثری برداشت.

#### تشکر و قدردانی

در اینجا لازم می‌دانیم از موسسه ژئوفیزیک، سازمان هواشناختی و شرکت کنترل کیفیت هوای در اختیار

- urban-rural landscape, Boundary Layer Meteorology, **98**, 1-31.
- Cooper, D. I. and Eichinger, W. E., 1994, Structure of the atmosphere in an urban planetary boundary layer from lidar and radiosonde observations, Journal of Geophysical Research, **99**(D11), 22937-22948.
- Fisher, B., Erbrink, J., Finardi, S., Jeannet, Ph., Joffre, S., Morselli, M., Pechinger, U., Seibert, P. and Thomson, D., 1998, Harmonization of the preprocessing of meteorological data for atmospheric dispersion models, COST 710 Final Report Reports, CEC Publication EUR 18195, Luxembourg, 431 pp.
- Hanna, S. R. and Chang, J. C., 1992, Boundary-layer parameterizations for applied dispersion modeling over urban areas, Boundary-Layer Meteorology, **58**(3), 229-259.
- Joffre, S. M., Kangas, M., Heikinheimo, M. and Kitaigorodskii, S. A., 2001, Variability of the stable and unstable atmospheric boundary layer height and its scales over a boreal forest, Boundary Layer Meteorol., Meteorol, **99**(3), 429-450.
- Kitaigorodskii, S. A., 1960, On the computation of the thickness of the wind-mixing layer in the ocean, Izv. AN SSSR, Geophys. Ser., **3**, 425-431.
- Kitaigorodskii, S. A. and Joffre, S. M., 1988, In search of simple scaling for the heights of the stratified atmospheric boundary layer, Tellus, **40A**, 419-443.
- Linqvist, J., 1999, En stokastik partikelmodell i ett icke-metriskt koordinatsystem, FOA Report, FOA NBC-defence, Umeå, Sweden, 46 pp.
- Mahrt, L., 1982, Momentum balance of gravity flows, J. Atmos. Sci., **39**, 2701-2711.
- Mikkelsen, T., Thykier-Nielsen, S., Astrup, P., Santabarbara, J. M., Sørensen, J. H., Rasmussen, A., Robertson, L., Ullerstig, A., Deme, S., Martens, R., Bartzis, J. G., and Päslér-Sauer, J., 1997, MET-RODOS: A comprehensive atmospheric dispersion module, Radiat. Prot. Dosim, **73**, 45-56.
- Moriwaki, R., Kanda, M., and Watanabe, T., 2002, Turbulent Transfer Efficiency of Momentum, Heat, Vapor, and CO<sub>2</sub> Measured in the Urban Surface Layer over a Densely Built-up Canopy, 15th Symposium on Boundary Layers and Turbulence, American Meteorological Society.
- Nieuwstadt, F. T. M., 1984, Some aspects of the turbulent stable boundary layer, Boundary-
- Baklanov, A., 2001a, NWP modeling for urban air pollution forecasting: possibilities and shortcomings. DMI Technical Report, 01, 12-19.
- Baklanov, A., 2001b, Parameterization of SBL height in atmospheric pollution models., International Technical Meeting on Air Pollution Modeling and its Application, ITM-2001, 15-19 October 2001, Louvain-la-Neuve, Belgium, pp, 303-310.
- Baklanov, A., Joffre, S., Kuchin, A., Piringer, M. and Zilitinkevich, S., 2009, The mixing height in urban areas - recent experimental and modelling results, 9th EMS Annual Meeting, 9th European Conference on Applications of Meteorology (ECAM) Abstracts, held Sept. 28 - Oct. 2, 2009 in Toulouse, France.
- Baklanov, A. and Kuchin, A., 2003, The mixing height in urban areas: comparative study for Copenhagen, Presentation at the EGS-AGU-EUG Joint Assembly, Nice, April 2003, Atmos. Chem. Phys. (submitted).
- Benkley, C. W. and Schulman, L. L., 1979, Estimating mixing depths from historical meteorological data, Journal of Applied Meteorology, **18**, 772-780.
- Berkowicz, R. and Prahm, L. P. 1982, Sensible heat flux estimated from routine meteorological data by the resistance method, J. Appl. Meteor., **21**, 1845-1864.
- Berman, S., Ku, J.-Y., Zhang, J. and Rao, S. T., 1997, Uncertainties in estimating the mixing depth: comparing three mixing-depth models with profiler measurements, Atmospheric Environment, **31**(18), 3023-3039.
- Bornstein, R. D., 2001, Currently used parameterizations in numerical models, Workshop on Urban Boundary Layer Parameterizations, COST 715, Zürich, May 24-25, 2001.
- Brandt, J., 1998, Modeling transport, dispersion and deposition of passive tracers from accidental releases, Ph.D. Thesis, RISØ-NERI, Denmark, 307 pp.
- Britter, R., Hanna, S., 2003, Flow and dispersion in urban areas. Annu Rev Fluid Mech., **35**, 469-496.
- Chen, W., Kuze, H., Uchiyama, A., Suzuki, Y. and Takeuchi, N., 2001, One-year observation of urban mixed layer characteristics at Tsukuba, Tokyo using a micro pulse lidar, Atmospheric Environment, **35**, 4273-4280.
- Cleugh, H. A., and Grimmond, C. S. B., 2001, Modeling regional scale surface energy exchanges and CBL growth in heterogeneous,

- Rotach, M. W., Mitev, V. and Vogt, R., 2001, BUBBLE - current status of the experiment and planned investigations/evaluations of the mixing height, COST715 Workshop 'Mixing heights and inversions in urban areas', Meteo-France, Toulouse, **10**, 3-5.
- Scire, J. S., Insley, E. M., Yamartino, R. J. and Fernau, M. E., 1995, A user's guide for the CALMET meteorological model, prepared for USDA Forest service, Sigma Research Corporation Inc., Document 1406, July.
- Seibert, P., Beyrich, F., Gryning, S. E., Joore, S., Rasmussen, A. and Tercier, P., 1999, Review and inter comparison of operational methods for the determination of the mixing height, *Atmospheric Environment*, **34**, 1001-1027.
- Venkatram, A., 1980, Estimating the Monin-Obukhov length in the stable boundary layer for dispersion calculations, *Boundary Layer Meteorology*, **19**, 481-485.
- Vickers, D. and Mahrt, L., 2004, Evaluating formulations of stable boundary layer height, *Journal of Applied Meteorology*, **43**, 1736-1749.
- Zawar-Reza, P., Appelhans, T., Gharaylou, M. and Shamsipour, A., 2008, Mesoscale control for mega city in a semi-arid mountainous environment: Tehran, Iran, 13th Conference on Mountain Meteorology, complete program of The 13th Conference on Mountain Meteorology/17th Conference on Applied Climatology.
- Zawar-Reza, P., Appelhans, T., Gharaylou, M. and Shamsipour, A., 2010, Mesoscale control for mega city in a semi-arid mountainous environment: Tehran, Iran, *International Journal of Environment*, **41**(1/2), 166-183.
- Zilitinkevich, S. S., 1972, On the determination of the height of the Ekman boundary layer, *Boundary-Layer Meteorology*, **3**, 141-145.
- Zilitinkevich, S. and Mironov, D. V., 1996, A multi-limit formulation for the equilibrium depth of a stably stratified boundary layer, *Boundary-Layer Meteorol.*, **81**, 325-351.
- Layer Meteorology, **30**, 31-55.
- Nieuwstadt, F. T. M., 1981, The steady state height and resistance laws of the nocturnal boundary layer: theory compared with Cabauw observations, *Boundary-Layer Meteorology*, **20**, 3-17.
- Nieuwstadt, F. T. M., 1984, The turbulent structure of the stable, nocturnal boundary layer, *J. Atmos. Sci.*, **41**, 2202-2216.
- Olesen, H. R., Løfstrøm, P., Berkowicz, R. and Jensen, A. B., 1992, An improved dispersion model for regulatory use: the OML model. In: van Dop, Han and Kallos, George (eds.), *Air pollution modeling and its application IX*, New York, NY, Plenum Press, p. 29-38.
- Piringer, M. and Joffre, S., (Eds.), 2005, The urban surface energy budget and mixing height in European cities: data, models and challenges for urban meteorology and air quality. Final report of working group 2 COST-715 action, ISBN 954-9526-29-1, Demetra Ltd Publishers, Sofia, 239 P.
- Pollard, R. T., Rhines, P. B. and Thompson, R. O. R. Y., 1973, The deepening of the wind-mixed layer, *Geophys. Fluid Dyn.*, **3**, 381-404.
- Railo, M., 1997, Urban episodes, problems and action plans: Paris, Berlin, Helsinki, Turku, Ilmansuojelu, Magazine of the Finnish Air Pollution Prevention Society, **6**.
- Rasmussen, A., Sørensen, J. H., Nielsen, N. W. and Amstrup, B., 1999, Uncertainty of meteorological parameters from DMI-HIRLAM,. Report RODOS (WG2), TN (99)12.
- Robertson, L., Langner, J. and Engardt, M., 1996, MATCH – meso-scale atmospheric transport and chemistry modeling system, Basic transport model description and control experiments with  $^{222}\text{Rn}$ , Swedish Meteorological and Hydrological Institute, Sweden, 37 pp.
- Rossby, C. G. and Montgomery, R. B., 1935, The layer of frictional influence in wind and ocean currents, *Oceanogr. Meteorol.*, **3**, 1-101.